

세만금 준설모래의 비배수 거동

Undrained Behavior on Saemangeum Dredged Sands

정 상 국*

강 권 수**

양 재 혁***

Jeong, Sang-Guk

Kang, Kwon-Soo

Yang, Jae-Hyok

Abstract

The results of an experimental study on Saemangeum dredged sands are presented. Undrained triaxial compression tests were performed with three different initial relative densities, namely 18, 31, and 50%, intend to evaluate undrained behavior. All undrained triaxial compression tests were performed under static loading conditions. Undrained triaxial compression tests were exhibited complete static liquefaction, zero effective confining pressure and zero stress difference at lower confining pressures. As confining pressures were increased, the effective stress paths indicated increasing resistance to static liquefaction by showing increasing dilatant tendencies. The isotropic consolidation before shearing was identified as the likely cause of this behavior. The fines and larger particles create a particle structure with high compressibility at lower confining pressures. The effect of increasing the relative density was to increase the resistance of the sand against static liquefaction by making the sand more dilatant.

keywords: Saemangeum Dredged Sand, Initial Relative Density, Static Liquefaction, Confining Pressure, Isotropic Consolidation, Dilatant Tendency

1. 서 론

흙의 불안정성은 비배수상태에서 흙의 강도가 갑자기

감소하는 액상화와 유사한 현상이다. 이러한 강도의 손실은 흙의 유효응력을 감소시키는 큰 간극수압의 발생과 관련된다. 액상화란 지반에 외력이 작용할 때

* 정회원, 충청대학 철도시스템도전부 교수

** 정회원, 서남대학교 토목공학과 교수

*** 정회원, 덕수대학교 해양시스템학부 시간강사

E-mail : jungeo@hanmail.net 017-407-6583

*본 논문에 대한 토의권 2002년 3월 31일까지 학회도 보내 주시면 2002년 7월호에 토의권자를 게재하겠습니다.

간극수압의 상승으로 인해 유효응력이 감소되어 외력에 대한 전단강도를 잃게 되는 현상을 말한다. 이러한 현상은 주로 포화된 느슨한 사질토 지반에 지진이나 강한 충격력과 같은 외력이 작용할 때 빈번히 발생되며, 정지 하중 상태에서도 일어날 수 있다. 최근 우리나라는 사회간접자본 확충에 있어서 건설부지 확보의 어려움을 겪고 있다. 이로 인해 역상화가 여왕되는 해안지역에 대형구조물이 축조될 뿐만 아니라 해안지역을 순환, 매립하여 공간, 공항 등으로 이용하고 있다. 이러한 지반은 역상화 발생에 충분한 요건을 갖추고 있으므로 역상화의 발생에 영향을 미치는 요소에 대한 연구가 시급히 필요한 실정이다.

흙의 불안정에 대한 과거의 연구들은 서로 다른 구속압력에서 조밀하거나 느슨한 흙에 대한 시험을 통해 퇴적암층상의 모래가 비배수상태로 전단되었을 때 흙의 불안정이 나타난다는 것을 밝혔다(Castro 1969; Casagrande 1979; Vaid와 Chern 1985; Sladen 등 1985; Ishihara 1993; Yamamoto와 Lade 1997). Pitman 등(1994)은 파쇄된 비소성 식염 세립분과 Kaolinite를 가진 Ottawa모래를 시험하여 비소성 세립분을 함유한 모래가 보다 역상화에 민감하다고 결론지었다. Oda 등(1978)은 정적 및 동적 하중 조건에서 역상화된 대부분의 모래지반의 파괴과정

을 관찰할 수 있는 방법 중 전조비적방법이 자연적으로 퇴적된 모래지반과 유사한 입자구조를 만든다는 것을 밝혔다.

Terzaghi(1956)는 해식유동사면을 설명하기 위해 실효된 모래에서 존재하는 "순안정"구조를 큰 입자와 세립분 입자 사이의 변화하기 쉬운 입자구조의 형태로서 제안하였다. 또한 Hanzawa(1980)는 Arabian 실효된 모래의 분사기동을 설명하기 위해 이러한 형태의 흙 구조를 제안하였다. 한편 국내에서는 장(1993)이 실효된 함유량이 정적 및 동적 역상화장도에 미치는 영향을 조사하였으며, 양 등(1999)이 정적 역상화가 발생하는 여러 가지 조건에 대한 시험을 실시하였다. 대부분의 자연상태의 흙은 0.075mm 보다 작은 입자인 세립분을 약간 포함하고 있으며, 이에 따라 양호한 입도를 갖는 경우도 있다. 세립분은 응력-변형률 서동에 중대한 영향을 줄 수 있는 흙 구조를 만들 수 있다.

따라서 본 연구에서는 새만금 유역에서 채취한 순결 모래를 사용하여 자연상태에서 정적 하중에 의한 세립분 함유한 모래의 비배수기동 특성을 파악하기 위해, 지점시료를 제거함하여 일정한 입도를 갖도록 조정된 후, 서로 다른 초기구속압력과 초기상태밀도, 그리고 세립분 함유량을 변화시켜 일련의 비배수 전축압축시험을 실시하였다.

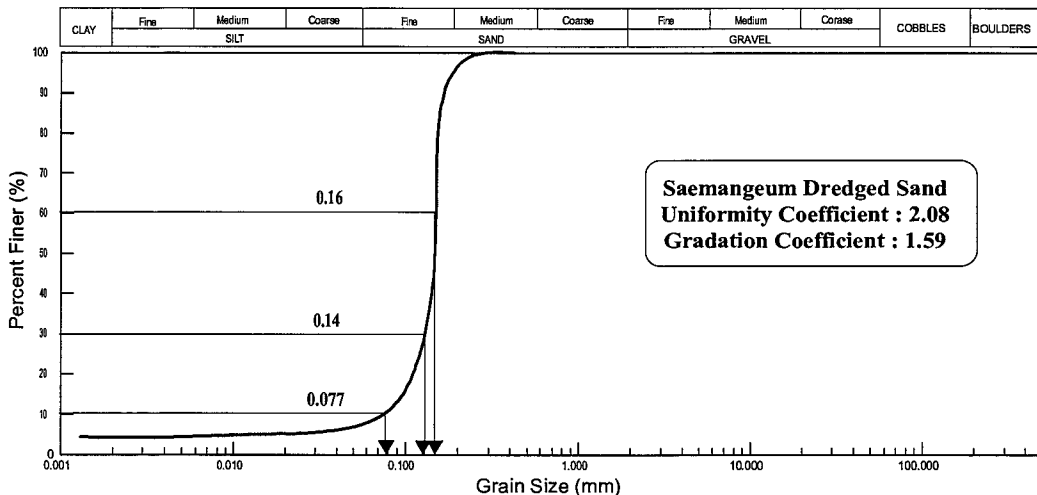


Fig. 1 Particle size distribution curve on Saemangeum dredged sand

2. 시료준비 및 시험방법

2.1 실속압축시험 시료의 준비

본 연구에서는 정적 하중조건에서 모래의 비배수 거동을 파악하기 위해, 새만금 유역에서 채취한 모래를 자연 건조시킨 후 제각각 시험을 실시하여 No.60체를 통과한 시료에 No.200체를 통과한 비소성 세립분(0.075mm 이하)의 함유량을 변화시켜 시험 시료로 사용하였다. Table 1은 새만금 준설토래와 물리적 특성을 보여 준 것이다. Fig. 1와 입경가력곡선에서 보인 바와 같이, 새만금 준설토래는 관통계수와 곡률계수에 의해 입도가 균등하다는 것을 알 수 있다.

비배수 삼축압축시험은 직경 50mm와 높이 110mm인 원통형 시료에 대해 수행되었다. 공시험의 제작방법으로는 공중낙법, 수중낙법, 그리고 다중낙법 등 여러 가지 방법이 있지만, 본 연구에서는 모래입자와 세립분이 공시험 제작 중에 분리되는 현상을 방지하기 위해 건조-깜때기되침방법으로 공시험을 성형하였다. 이는 수동하여 튜브를 옮긴 깜때기에 건조모래를 넣는 방법으로 수행되었다. 튜브는 분리된 튜브의 바닥에 위치된다. 튜브는 시료와 대칭축을 따라 완전히 용해되었으며, 따라서 좁은 아막한 너머 높이도 허용되지 않았다. 원하는 초기상대밀도는 대칭적인 양상으로 튜브를 펌핑에 따라 가볍게 두드려 얻어졌다.

2.2 실속압축시험 방법

삼축일에 준비된 시료를 설치하기 전 공시험과 양, 하판 사이의 마찰에 의한 구속을 없애기 위해 상, 하판에 그라스를 바르고 0.3mm 두께의 테프론을 권을 부착한다. 이 때 배수는 상하의 아크릴관의 중앙에 직경 10mm 정도의 구멍을 뚫고 다공석을 넣어 양면배수가 되도록 하였다. 그리고 멤브레인을 하부아크릴관 지부에 걸쳐 두 개의 O-ring으로 봉한 후 성형상자과 지면 위의 중앙에 맞추어 놓는다. 멤브레인을 성형상자 아래에 완전히 완전히 용해되고 침공을 가하여 멤브레인이 성형상자 안에 완전히 밀착하도록 한다.

Table 1 Physical properties of natural Saemangeum dredged sand

Type	Gs	#200 percent finer(%)	e_{max}	e_{min}
Saemangeum dredged sand	2.695	10	1.218	0.835

이러한 성형상자 내부에 직경 50mm, 높이 110mm의 시료를 건조-깜때기되침방법으로 성형하였다. 그리고 상판을 시료 위의 중앙에 놓고 멤브레인을 상판에 씌운 다음 O-ring으로 봉한 후 상부배수관을 상판에 연결시키고 시료에 20kPa의 선공압력을 가한 후 성형상자를 제거한다. 다음에 삼축일을 조립한 후 물을 가득 공급하고 시료의 침공을 제거함과 동시에 구속압력을 가한 후 일정한 위치시킨다.

시료의 포화도를 높이기 위해 배압으로 CO_2 를 하부 배수관으로 주입시켜 시료 속의 공기를 상부 배수관으로 완전히 빠져나가게 한 다음 증발수관 시료 내에 있는 CO_2 를 상부 배수관으로 완전히 밀어 올려 시료로부터 빠져나가게 한다. 이 때 CO_2 의 체적 변화는 증수 및의 체적변화와 같기 때문에 시료 내에 남아있는 CO_2 는 크게 분해되지 않는다. 이와 같이 준비된 시료에 일정한 구속압력으로 동방압밀관 수행한 후 비배수 상태에서 시료를 전단하였다. 전단속도는 0.01cm/min의 일정한 측면변형을 유지하였다.

3. 비배수거동에 대한 구속입력의 영향

Fig. 2는 초기상대밀도 31%인 세립분 함유량을 포함하지 않은 깨끗한 새만금 준설토래에 대한 일련의 비배수 삼축압축시험의 결과를 나타낸 것이다. Fig. 2(a)는 $p'-q$ 응력공간과 유효응력경로를 보인 것이다. 여기서, $p' = (\sigma'_1 + 2\sigma'_3)/3$ 는 평균유효수응력, σ'_1 는 축방향유효수응력, σ'_3 는 유효구속압력이다. 또한 $q = \sigma_1 - \sigma_3$ 는 축차응력이다. Fig. 2(b)는 이에 대응하는 응력-변형률곡선을 보인 것이다. 그림에서 보인 바와 같이, 서로 다른 유효응력의 정점의 위치는 불안정선이라 불리우는 유일한 선 위로 겹쳐져 있으며, 이 선은 응력 원점축 교차하고 있다.

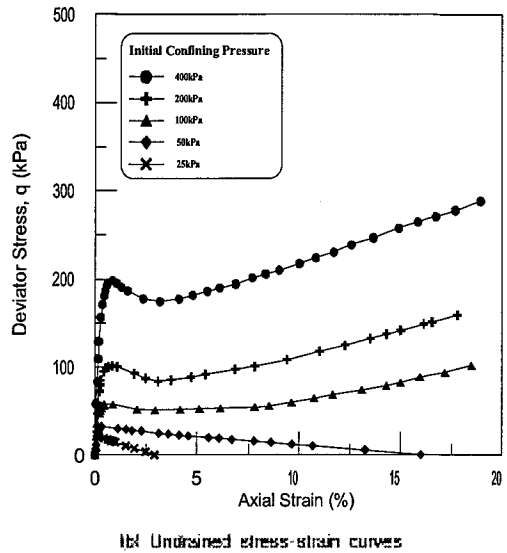
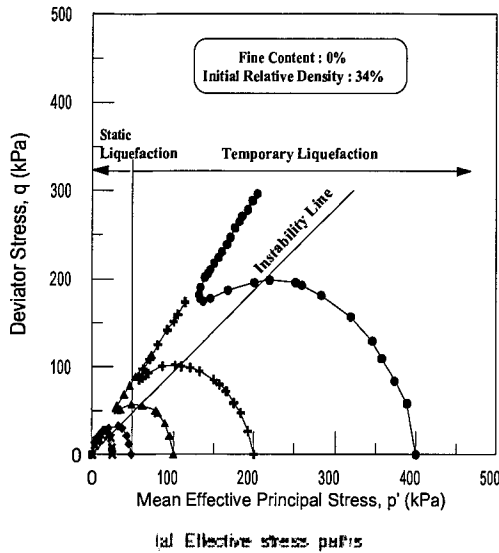


Fig. 2 Undrained triaxial compression tests for Saemangeum dredged sands (fine content 0%, initial relative density 34%)

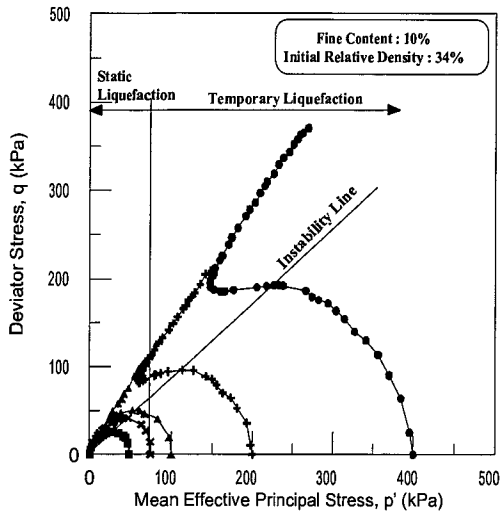
원시현 평균정 수, 정적 액상화 파괴는 50kPa 이하의 낮은 구속압력에서 발생하였다. 정적 액상화 파괴는 $\sigma_3' = 0$ 라 $\sigma = \sigma_1 - \sigma_3 = 0$ 인 응력조건에서 발생되며, 초기구속압력에서 축차응력이 침투값까지 증가한 후 응력 편경에 도달하여 축차응력이 '0'이 되는 상태이다.

Fig. 2(a)에서 초기구속압력이 100kPa의 범위 이상으로 증가했을 때의 유효응력경로는 원시현 액상화 파괴에 대한 증가하는 압정 또는 시험의 서동을 나타내고 있다. 이와 같이 일시적 불안정 서동을 보이는 현상을 일시적 액상화라고 한다. 이는 Fig. 2(b)의 응력-변형률곡선에 의해 설명될 수 있다. 초기구속압력 100, 200, 그리고 400kPa에 대한 응력-변형률곡선은 원시현 액상화파 나타내는 시험(초기구속압력 25, 50kPa)에 비해 길이 축차응력이 '0'에 도달하지 않았다. 축차응력은 선단이 실행됨에 따라 초기 침투값이 도달하여 유효응력을 감소시키는 급속히 증가하는 간극수압에 의해 최소값까지 감소하였다. 그 후 흙입자 배열이 변화되어 Dilatancy현상에 기인한 유효응력을 증가시키고 간극수압을 감소시키는 시험의 방향에 의해 초기 침투값 보다 훨씬 위의 값까지 증가하

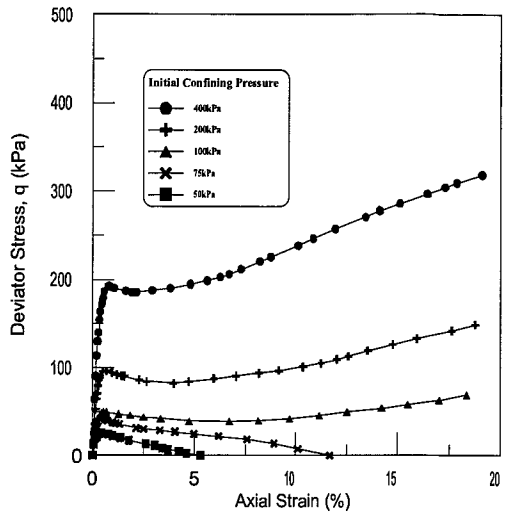
였다. 따라서 이러한 시험을 통해 동일한 시험분 함유량과 초기상대밀도에서 구속압력을 증가시키면 정적 액상화 파괴에 저항하는 흙의 방향도 증가됨을 알 수 있다.

현편, 일련의 비비수 삼축압축시험을 세립분 함유량 10% 포함한 상대밀도 34%와 새한금 순철모래에 대해 수행하였으며, 유효응력경로와 이에 대응하는 응력-변형률곡선을 Fig. 3에 나타내었다. 그림에서 보인 바와 같이, Fig. 2와 세립분용 포함되지 않은 시료에 의해 보여진 동일한 서동양상이 새한금 함유량 10%의 시험에 대해서도 나타났다. 원시현 정적 액상화 파괴는 75kPa의 초기구속압력 이하에서 발생했다.

더 높은 초기구속압력(100kPa 이상)에서 시료는 원시현 정적 액상화 파괴를 보이지 않았으며, 더욱 큰 Dilatancy나 액상화에 대한 저항을 나타냈다. 따라서 Fig. 2와 3에서 설명한 바와 같이, 원시현 정적 액상화 파괴는 상대적으로 낮은 초기구속압력에서 발생한다는 것을 분명히 알 수 있다. 이보다 초기구속압력이 증가하게 되면, Dilatancy의 증가나 액상화에 대한 저항은 더욱 커진다.

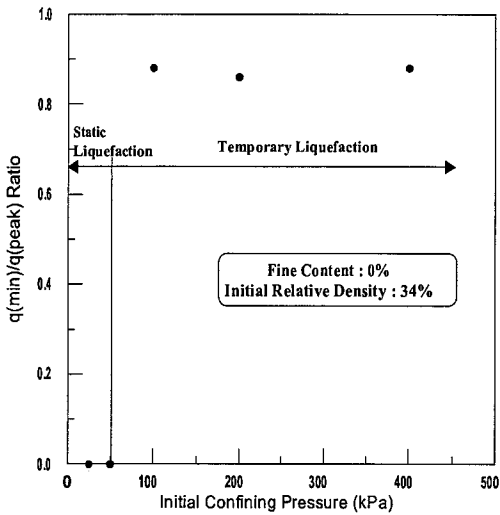


(a) Effective stress paths

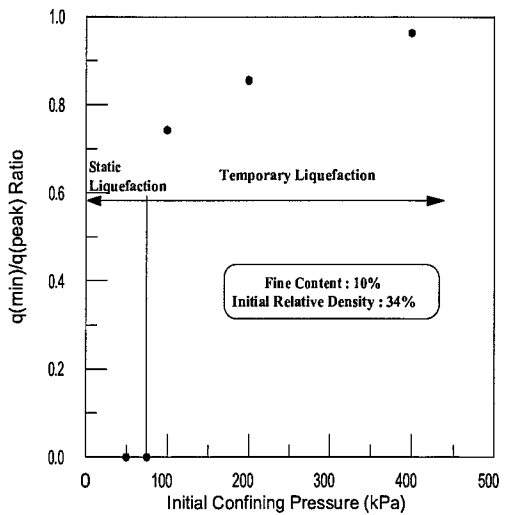


(b) Undrained stress-strain curves

Fig. 3 Undrained triaxial compression tests for Saemangeum dredged sands (fine content 10%, initial relative density 34%)



(a) Fine content 0%, relative density 34%



(b) Fine content 10%, relative density 34%

Fig. 4 Initial confining pressures vs. $q(\min)/q(\text{peak})$ ratios

Dilatancy의 증가나 역상화에 대한 저항은 초기 전 두축차응력에 대한 최소축차응력의 비 $q(\text{min})/q(\text{peak})$ 를 검토함으로써 파악될 수 있다. $q(\text{min})/q(\text{peak})$ 의 비가 "0"이면 완전한 역상화 파괴를 나타내며, "0"과 "1" 사이에서는 일시적 역상화, "1"이면 완전히 안정된 거동을 나타낸다. Fig. 4(a)와 (b)는 Fig. 2와 3의 세립분 함유량이 각각 0, 10%이고 초기상대밀도가 31%인 새만금 준설토의 초기구속압력에 대한 $q(\text{min})/q(\text{peak})$ 의 변화관 보인 것이다. Fig. 4(a)에서 보인 바와 같이, 세립분 함유량이 없는 깨끗한 모래의 초기구속압력 50kPa 이하에서 이 비는 "0"을 나타내며, Fig. 2(a)의 유효응력경로에서 축차응력 "0"에 대응한다. 100-100kPa까지의 초기구속압력에서 이 비는 일정한 경향을 보이고 있으며, 이는 시료가 증가하는 Dilatancy를 가지고 역상화에 더욱 저항함을 나타낸다. 한편, Fig. 4(b)의 세립분 함유량 10%에 대한 $q(\text{min})/q(\text{peak})$ 의 비도 50kPa 이하에서는 "0"값을 보이지만, 그 이상의 초기구속압력에는 점차 "1"을 향해 증가하는 값을 보인다. 이는 깨끗한 모래보다

는 세립분을 함유한 모래의 밀도가 더 커서 선단 동안 더욱 큰 팽창거동을 보이기 때문이라고 생각된다.

앞에서 설명한 바와 같이, 새만금 준설토에는 더 큰 초기구속압력에서 역상화에 대한 저항이 더욱 증가하는 경향을 보였다. 이는 등방압밀을 하는 동안 증가하는 구속압력의 영향이 모래의 느슨한 초기상대밀도가 더 크게 만듦에, 따라서 선단 동안 체적이 더욱 팽창하여 유효응력을 증가시키기 때문이다. 이러한 영향은 세립분이 함유될수록 더욱 커진다는 것을 Fig. 4(a)와 (b)와 비교하면 알 수 있다.

Fig. 5는 일정한 초기상대밀도, 28%에서 세립분 함유량을 달리한 새만금 준설토의 등방압밀시험 결과 관 보인 것이다. 그위에서 보인 바와 같이, 시료가 압축됨에 따라 축의 체적 압축성은 초기에 크게 증가하고 있으며, 구속압력이 증가할수록 체적 압축성은 점차 감소된다. 이와 같은 경향은 세립분 함유량이 커질수록 더욱 뚜렷이 나타난다. 구속압력이 작은 경우의 높은 체적 압축성은 흙 골격의 낮은 강성을 의미하며, 이는 선광하거나 불완전한 혼입자의 침축 결과에 기인한다.

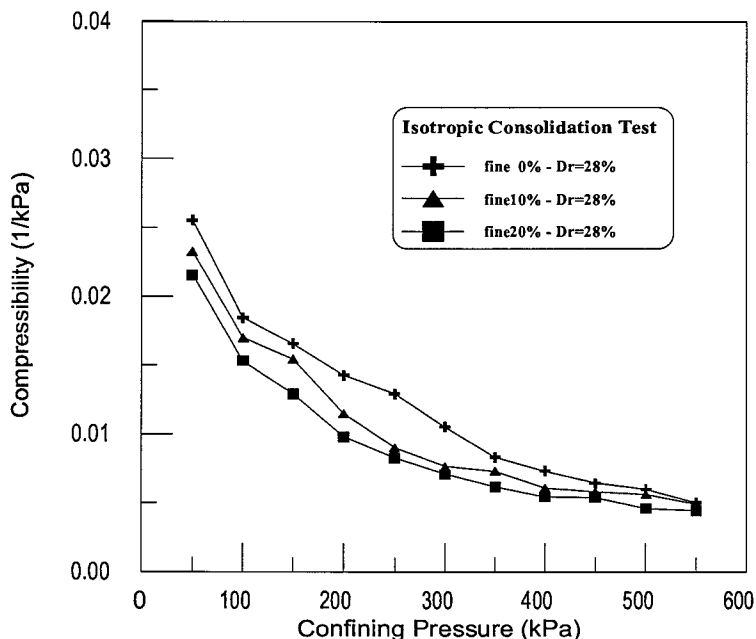
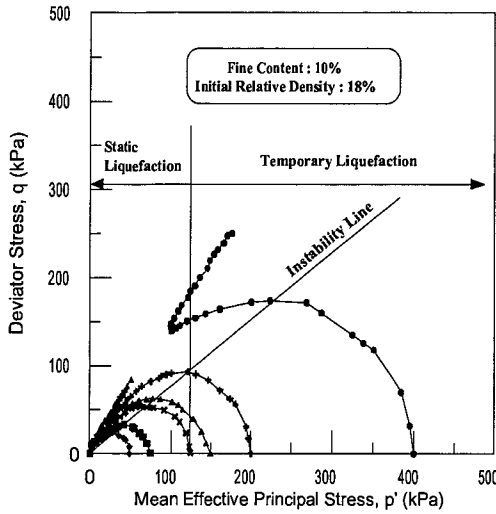
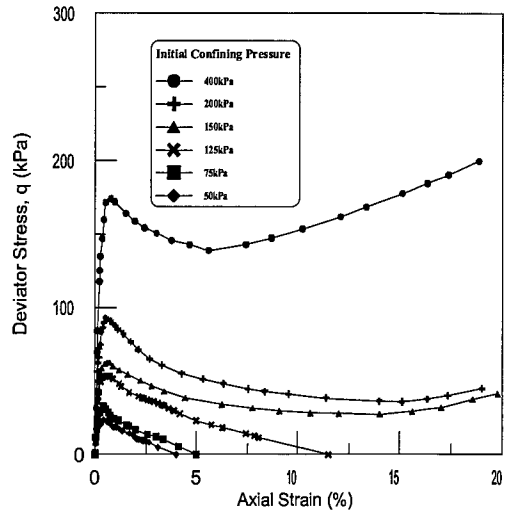


Fig. 5 Isotropic compression tests on different fine contents of Saemangeum dredged sands

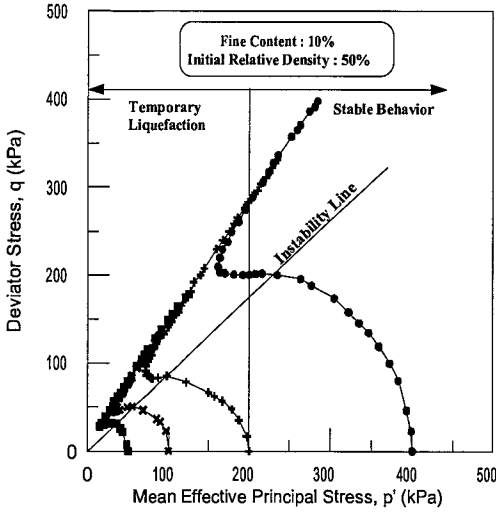


(a) Effective stress paths

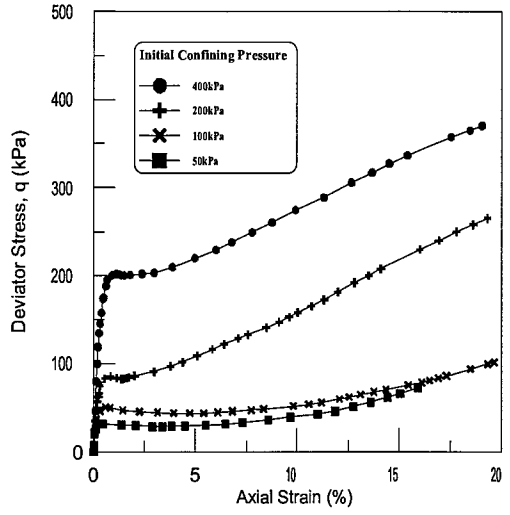


(b) Undrained stress-strain curves

Fig. 6 Undrained triaxial compression tests for Saemangeum dredged sands (fine content 10%, initial relative density 18%)

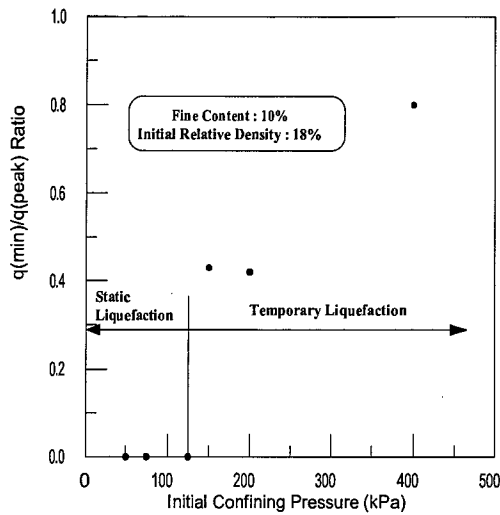


(a) Effective stress paths

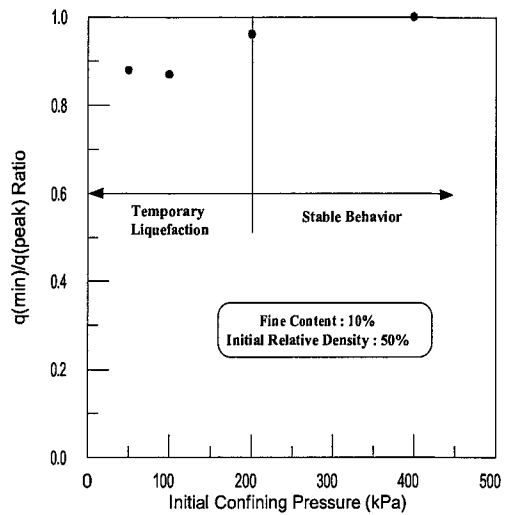


(b) Undrained stress-strain curves

Fig. 7 Undrained triaxial compression tests for Saemangeum dredged sands (fine content 10%, initial relative density 50%)

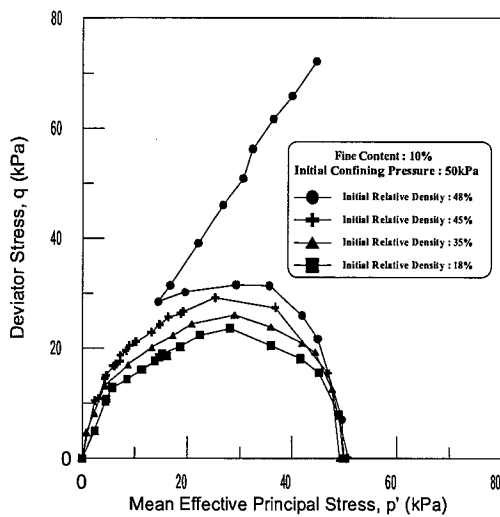


la) Fine content 10%, relative density 18%

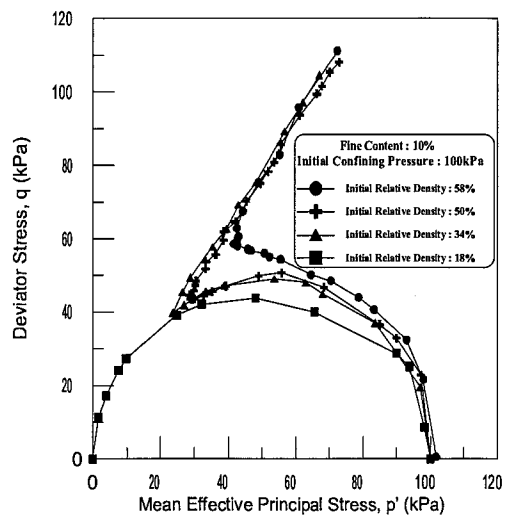


lb) Fine content 10%, relative density 50%

Fig. 8 Initial confining pressures vs. $q(\min)/q(\text{peak})$ ratios



la) 50kPa



lb) 100kPa

Fig. 9 Unstrained effective stress paths for initial confining pressures

그러나, 구속압력이 점차 증가함에 따라, 각각의 세립분 함유량에 대한 체적 압축성은 가장 높은 구속압력, 550kPa에서의 값으로 급속히 감소하여 수렴된다.

체적 압축성의 이러한 급속한 감소는 일정한 고밀도화와 관련되며, 비배수 선단 동안 Dilatancy 경향을 더욱 증가시킬 것이다. 이와 같이 감소된 체적 압축성은 더 높은 흙 공극의 강성을 나타내며, 이는 흙입자 사이의 양호한 접촉의 결과에 기인한다. 따라서 등방 압밀시험 결과를 통해, 시만큼 순철모래의 낮은 초기 구속압력에서 정적 액상화 파피에 도달하는 큰 압축시동과 더욱 높은 초기구속압력에서 선단 동안 체적압축의 감소와 Dilatancy 경향에 따른 증가된 정적 액상화의 지향이 설명되어질 수 있다.

4. 비배수거동에 대한 상대밀도의 영향

서로 다른 초기상대밀도가 세만큼 순철모래의 비배수 거동에 미치는 영향을 평가하기 위해, 세립분 함유량 10%와 초기상대밀도 18, 34 그리고 50%에 대한 일련의 비배수 삼축압축시험의 결과가 검토되었다.

이들 초기상대밀도에 대한 $p'-q$ 응력공간의 유효 응력경로와 이에 대응하는 응력-변형률곡선을 34%에 대해서는 Fig. 3 그리고 18과 50%에 대해서는 각각 Fig. 6과 7에 나타내었다. Fig. 6에서 보인 바와 같이, 정적 액상화 파피는 125kPa 이하의 초기구속압력 범위에서 발생하였으며, 이보다 더 높은 초기구속압력 (150, 200, 400kPa)에서는 일시적 액상화의 거동을 보이고 있다. 이와 같은 결과를 Fig. 3과 비교해보면, 초기상대밀도 34%의 경우 정적 액상화 파피는 75kPa 이하의 더 낮은 초기구속압력에서 발생하였으므로, 증가하는 초기상대밀도는 흙의 더 큰 체적 팽창을 유발시켜 액상화에 대한 저항을 증가시킨다는 것을 알 수 있다.

이와 같은 경향은 Fig. 7에서 더욱 뚜렷이 나타난다. Fig. 7은 시만큼 순철모래의 초기상대밀도 50%까지 증가시킨 경우이며, Dilatancy와 정적 액상화에 대한 더 큰 저항의 경향을 유발시킨다는 것을 보여주고 있다. 이러한 상대밀도에서 모래는 심지어 50kPa와 같은 낮은 초기구속압력에서도 정적 액상화

파피가 발생되지 않았다. 또한 일시적 액상화가 발생하는 최대 초기구속압력은 200kPa 이하까지 줄어들었다.

이 범위를 넘는 초기구속압력에서 모래는 축차응력이 저유부터 선형 감소하지 않는 안정된 거동양상을 나타내었다. 그러나, Fig. 3과 Fig. 6에서 보인 바와 같이, 18%와 34%의 초기상대밀도에서 일시적 액상화 거동의 영역은 400kPa 이상의 초기구속압력까지 확장되었다. 따라서 초기상대밀도가 정적 액상화 거동에 미치는 영향은 대단하다는 것을 알 수 있다.

Fig. 8은 초기상대밀도 18%와 50%의 $q(\text{min})/q(\text{peak})$ 비에 대한 초기구속압력의 관계를 보인 것이다.

Fig. 8(a)에서 보인 바와 같이, 초기상대밀도 18%에서 $q(\text{min})/q(\text{peak})$ 의 비는 125kPa 이하에서 "0"의 값을 보이고 있으며, 그 후 점차 증가하고 있다. Fig. 8(b)는 초기상대밀도 50%에 대한 것으로서 $q(\text{min})/q(\text{peak})$ 비는 초기구속압력 50-200kPa의 범위에서 점차 증가하는 일시적 액상화의 거동을 나타내었다. 그 후 초기구속압력 200kPa 이상에서 충분히 안정된 거동으로 전이하는 경향을 보였다.

5. 구속압력과 상대밀도의 영향에 대한 종합

시만큼 순철모래의 비배수 거동에 대한 초기구속압력과 초기상대밀도의 영향을 각각 50kPa와 100kPa의 초기구속압력의 네 가지 초기상대밀도에 대해 $p'-q$ 응력공간의 유효응력경로로 정리하여 Fig. 9에 나타내었다.

Fig. 9(a)는 완전한 정적 액상화 파피가 50kPa의 초기구속압력에서 더 낮은 세 가지 초기상대밀도 (18%, 35% 와 45%)에서 발생한다는 것을 보이고 있다. 초기상대밀도 48%에서는 일시적 액상화의 거동을 나타냈다. Fig. 9(b)는 100kPa의 초기구속압력의 초기상대밀도 18%에서 정적 액상화 파피가 발생한 것을 보여준 반면, 일시적 액상화는 초기상대밀도 34와 50%에서 발생했다. 초기상대밀도 58%에서는 안정된 거동을 나타냈다.

따라서 이들 그림들을 종합해보면, 초기구속압력과 초기상대밀도가 증가할수록 정적 액상화에 대한 저항은 더욱 커진다는 것을 명확히 알 수 있다. 한편, Fig. 9(a)와 (b)에서 보인 바와 같이, 유효응력경로의 초기 기울기는 초기상대밀도가 증가할수록 더욱 커진다는 것이 관찰되었다. 이는 다양한 초기상대밀도에서 발생한 간극수압의 크기와 관련될 수 있다. 즉, 초기상대밀도가 커질수록 등방압밀 이후 체적 팽창의 경향이 커져 유효응력이 증가하기 때문으로 생각된다.

6. 결 론

본 연구에서는 세만급 유역에서 채취한 준질모래를 가지고 서로 다른 초기구속압력에서 초기상대밀도를 변화시켜 정적 액상조건에 의한 비배수기동 특성유 결 토한 결과 다음과 같은 결론을 얻었다.

- 1) 상대밀도가 크지 않은 낮은 초기구속압력에서 축삭응력은 초기 침투에 도달한 후 더 이상 증가하지 않고 $p' - q$ 응력공간의 원점에 도달하는 정적 액상화 파괴가 발생되었다. 그러나 이러한 영역을 이후의 더 큰 초기구속압력에서 축삭응력이 초기 침투 이후 감소하다가 급격히 증가하는 일시적 액상화 현상이 발생되었다. 이는 시료의 팽창에 의해 유발된 간극수압의 감소 때문이다. 따라서 더 높은 초기구속압력에서는 더 큰 Dilatancy나 액상화 파괴에 대한 저항을 나타냈다.
- 2) 더 높은 초기구속압력에서 액상화 파괴에 대한 저항의 증가는 등방압밀 동안 시료의 체적 압축성 감소에 기인한다. 이와 같이 체적 압축성이 감소하면 흙입자는 더욱 양호하게 접촉하여 더 높은 흙 골격의 강성을 나타내게 되며, 따라서 선단 동안 더 크게 정적 액상화에 저항하는 것으로 생각된다.
- 3) 상대밀도를 증가시킬수록 액상화에 대한 저항은 커지는 것으로 나타났으며, 매우 큰 초기구속압력과 상대밀도에서는 축삭응력이 치음부터 파괴에 도달할 때까지 감소하지 않는 안정된 서동유

보였다. 또한 상대밀도가 커짐에 따라 팽창의 경향이 커지므로 유효응력경로의 초기 기울기는 점차 증가하였다.

참 고 문 헌

1. 양재희, 장진철, 이상범, 최강희, "입도집 모래의 정적액상화에 관한 연구", 대한토목학회 학술발표 회논문집 (II), 1999, pp.519-522.
2. 황대진, "입도를 함유하는 모래질 흙의 액상화경도에 관한 연구", 대한토목학회논문집, 제13권, 4호, 1993, pp.243-252.
3. Casagrande, A., "Liquefaction and Cyclic deformation of sands", Proceedings of the 5th Panamerican Conference on Soil Mechanics and Foundation Engineering, Lima, Peru, 1979.
4. Castro, G., "Liquefaction of sands", Harvard Soil Mechanics Series, No. 81, Harvard University Press, Cambridge, Mass, 1969.
5. Hanzawa, H., "Undrained strength and stability analysis for a quick sand", Soils and Foundations, 20(2), 1980, pp.17-29.
6. Ishihara, K., "Liquefaction and flow failure during earthquakes", Geotechnique, 43(3), 1993, pp. 351 - 415.
7. Oda, M., Koshikawa, I., and Higuchi, T., "Experimental study of anisotropic shear strength of sand by plane strain test", Soils and Foundations, 18(1), 1978, pp.25-28.
8. Pitman, T. D., Robertson, P. K., and Segu, D. C., "Influence of fines in the collapse of loose sands", Canadian Geotechnical Journal, 31, 1994, pp.728-739.
9. Sladen, J. A., D'Hollander, R. D., and Krishn, J., "The Liquefaction of sands a collapse surface approach", Canadian Geotechnical Journal, 22, 1985, pp.564-578.
10. Terzaghi, K., "Varieties of submarine slope failures", Proceedings of the 8th Texas Conference on Soil Mechanics and Foundation Engineering, University of Texas, Austin, Report, Harvard Soil Mechanics Series No.52, 1956.
11. Vald, Y. P., and Chern, J. C., "Cyclic and monotonic undrained response of saturated sands", In Advances in the art of testing soil

under cyclic conditions. Edited by V. Khosla., American Society of Civil Engineering, New York, 1985, pp.120-137.

12. Yamamoto, J. A., and Lade, P. V., "Instability of granular materials at high pressures", *Soils and Foundations*, 37(1), 1997, pp.41-52.

(접수일자 : 2001년 8월 10일)